

УДК 537.228:535.51+535.56

О. Г. Влох, А. В. Царик

### ВПЛИВ ЕЛЕКТРИЧНОГО ПОЛЯ НА ПОЛЯРИЗАЦІЮ СВІТЛА В КРИСТАЛАХ $\text{Bi}_{12}\text{SiO}_{20}$ , $\text{Bi}_{12}\text{GeO}_{20}$ , $\text{NaBrO}_3$

Вдале поєднання електрооптичних і фотопровідних властивостей у кристалах силікату і германату вісмуту зумовило ефективне їх застосування в оптичних запам'ятовуючих пристроях [1—4]. Проте оптичні явища, які виникають у цих кристалах під дією електричного поля, вивчені далеко не повністю і їх трактування часто суперечливе. Взаємозв'язок електрооптичного ефекту з природною оптичною активністю не з'ясований, а як один з можливих механізмів обертання еліпса поляризації світла під дією електричного поля помилково прийнято циркулярне двопронезаломлення [5—7], тобто в термінах [8, 9] — електрогірацію. Порушені питання можна вирішити при дослідженні кристалів  $\text{Bi}_{12}\text{SiO}_{20}$ ,  $\text{Bi}_{12}\text{GeO}_{20}$  і  $\text{NaBrO}_3$  класу симетрії 23, які відрізняються електропровідністю і величиною оптичної активності.

У кубічних гіротропних кристалах у загальному випадку зміна питомого азимута поляризації світла під дією електричного поля зумовлена електрооптичним і електрогіраційним ефектами:  $\Delta\rho = \Delta\rho_{eo} + \Delta\rho_{eg}$  [10]. У відповідності з формою аксіального тензора третього рангу [8] для класу симетрії 23 при поширенні світла вздовж напрямку  $\langle 110 \rangle$  і дії електричного поля вздовж напрямку  $\langle 110 \rangle$  величина  $\Delta\rho_{eg} = 0$ . Отже, при геометрії експерименту, яка використовується в [6, 7], виникнення лінійної електрогірації принципово неможливе. За цих умов зміну азимута поляризації світла можна пояснити виключно лінійним електрооптичним ефектом, характер якого визначається взаємозв'язком з природною оптичною активністю:

$$\Delta\rho_{eo} = \frac{\pi}{\lambda} n^7 \frac{(E_{\langle 110 \rangle} r_{41})^2}{2g_{33}}, \quad (1)$$

де  $n$  — показник заломлення,  $g_{33} = \frac{\rho\lambda n}{\pi}$  — компонента тензора гірації,  $r_{41}$  — електрооптичний коефіцієнт,  $E_{\langle 110 \rangle}$  — напруженість електричного поля вздовж напрямку  $\langle 110 \rangle$ ,  $\lambda$  — довжина хвилі.

З (1) випливає метод визначення електрооптичних коефіцієнтів оптично активних кристалів, суть якого полягає у вимірюванні азимута еліпса поляризації монохроматичної лінійно-поляризованої хвилі, яка пройшла крізь кристал. Перевага цього методу порівняно з описаним в [11] полягає в тому, що замість числового коефіцієнта, постійного для всіх оптично активних кристалів, тут безпосередньо враховується величина компоненти тензора гірації. Цим методом нами досліджено залежності питомого азимута еліпса поляризації світла в кристалах  $\text{Bi}_{12}\text{SiO}_{20}$  і  $\text{Bi}_{12}\text{GeO}_{20}$  від освітленості. Вимірювання провадили на поляриметричній установці з використанням гелій-неонового лазера ( $\lambda = 633 \text{ нм}$ ) під дією на кристал постійного електричного поля, прикладеного через

запірні контакти з тонкого скла. Попередньо було виміряно дисперсії показників заломлення і питомого обертання площини поляризації всіх досліджуваних кристалів. У таблиці наведено результати вимірювань при  $\lambda = 633$  нм.

Кристал	$n$	$\rho \cdot 10^{-3}$ , град/м	$g_{33} \cdot 10^4$
$\text{Bi}_{12}\text{SiO}_{20}$	2,5288	22,02	19,61
$\text{Bi}_{12}\text{GeO}_{20}$	2,5450	20,14	18,1
$\text{NaBrO}_3$	1,6128	1,74	1,0

Як видно з рис. 1, у випадку кристалів  $\text{Bi}_{12}\text{SiO}_{20}$  крім параболічної залежності  $\Delta\rho(E)$  спостерігається зміщення мінімуму  $\Delta\rho$  відносно початку координат. Це пояснюється наявністю фотоіндукованого двопр-

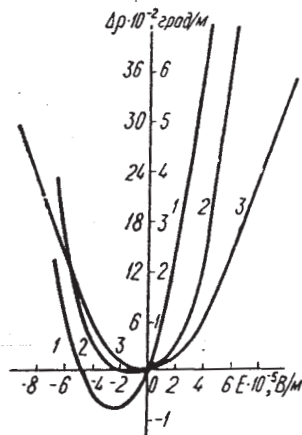


Рис. 1. Залежність питомого азимута еліпса поляризації світла від напруженості електричного поля в кристалах  $\text{Bi}_{12}\text{SiO}_{20}$  і  $\text{Bi}_{12}\text{GeO}_{20}$ : 1, 2 —  $\text{Bi}_{12}\text{SiO}_{20}$  (права шкала), відповідно, попередньо освітлений «білим» світлом і неосвітлений ( $d_{\langle 110 \rangle} = 6,62$  мм,  $d_{\langle 110 \rangle} = 8,70$  мм), 3 —  $\text{Bi}_{12}\text{GeO}_{20}$  (ліва шкала),  $d_{\langle 110 \rangle} = 6,23$  мм,  $d_{\langle 110 \rangle} = 7,78$  мм.

менезаломлення, яке повністю компенсується зовнішнім електричним полем, що відповідає вершинам парабол. Величина зміщення мінімуму  $\Delta\rho$  у випадку кристала, попередньо освітленого «білим» світлом, значно більша, ніж при освітленні тільки лазерним випромінюванням в процесі вимірювань, оскільки кристал більш fotocутливий в короткохвильовій області спектра [2]. Збіг вершини параболі з початком координат у випадку кристалів  $\text{Bi}_{12}\text{GeO}_{20}$  свідчить про відсутність в них фотоіндукованого двопрменезаломлення.

Крім того, в освітленому кристалі  $\text{Bi}_{12}\text{SiO}_{20}$  електричному полю  $E = \text{const}$  відповідає більше  $\Delta\rho$ , яке відраховується від вершини параболі, що пов'язане з підсиленням ефекту за рахунок фотополіаризації. Так можна пояснити результати, які одержані в [6, 7] і трактуються як «фотоактивність». У випадку кристалів  $\text{Bi}_{12}\text{GeO}_{20}$  тривалість стабільної фотополіаризації значно менша, ніж у випадку кристалів  $\text{Bi}_{12}\text{SiO}_{20}$  і тому освітлення кристала не позначається на залежності  $\Delta\rho(E)$ , одержаній статичним методом. Спостережуване ж збільшення  $\Delta\rho$  при освітленні [6, 7], можливо, в більшій мірі пов'язане з наявністю домішок, яких у досліджуваних нами кристалах, судячи з нормального характеру дисперсії питомого обертання площини поляризації в області  $\lambda = 450 \div 500$  нм, не було.

Переміщуючи вершини парабол у початок координат і зображуючи відповідні залежності функціями  $\Delta\rho(E^2)$ , можна перевірити застосов-

ність для пояснення одержаних результатів формули (1). З рис. 2 випливає, що співвідношення (1) задовольняється при  $E \leq 3 \cdot 10^5$  В/м для  $\text{Bi}_{12}\text{SiO}_{20}$  і  $E \leq 5 \cdot 10^5$  В/м для  $\text{Bi}_{12}\text{GeO}_{20}$ . Останнє узгоджується з умовою  $|E_{\langle 110 \rangle} r_{41}| \ll |g_{33} n^{-5}|$ , за якою еліптичністю хвилі, що пройшла крізь кристал, можна знехтувати. Відмінність тенденцій до відхилення експери-

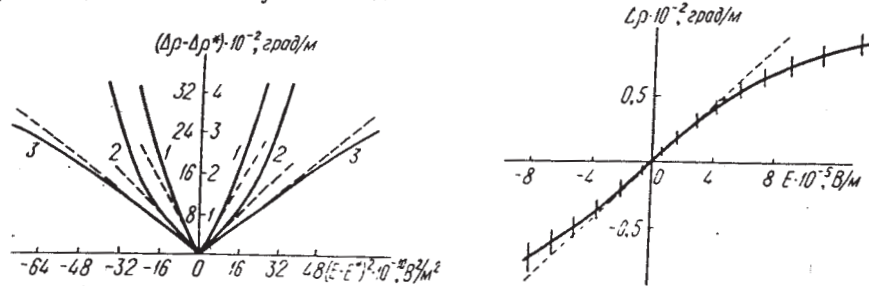


Рис. 2. Залежність питомого азимута еліпса поляризації світла від квадрата напруженості електричного поля.  $\Delta\rho^*$ ,  $E^*$  — координати вершин парабол, зображених на рис. 1. Штрихові лінії — екстраполяція лінійних ділянок. Позначення кривих ті самі, що й на рис. 1.

Рис. 3. Зміна питомого обертання площини поляризації світла в кристалі  $\text{Bi}_{12}\text{SiO}_{20}$  під дією електричного поля.

ментальних залежностей  $\Delta\rho(E^2)$  від лінійної для кристалів  $\text{Bi}_{12}\text{SiO}_{20}$  і  $\text{Bi}_{12}\text{GeO}_{20}$  визначається величиною початкової різниці фаз ( $\varphi_0 = 2\rho d$ ), знак відхилення чергується кратно  $\pi$ . На підставі одержаних даних за формулою (1) розраховано електрооптичні коефіцієнти обох кристалів. Для освітленого кристала  $\text{Bi}_{12}\text{SiO}_{20}$   $r_{41} = 1,60 \cdot 10^{-12}$  м/В, для неосвітленого  $r_{41} = 1,00 \times 10^{-12}$  м/В, а для  $\text{Bi}_{12}\text{GeO}_{20}$   $r_{41} = 2,72 \cdot 10^{-12}$  м/В. Таким чином, стають зрозумілими причини відмінності значень  $r_{41}$ , одержаних різними авторами [2, 5, 6, 7, 12].

Питання про наявність лінійної електрогірації в досліджуваних кристалах можна вирішити при поширенні світла і дії поля в напрямку  $\langle 111 \rangle$ . Саме при такій геометрії експерименту

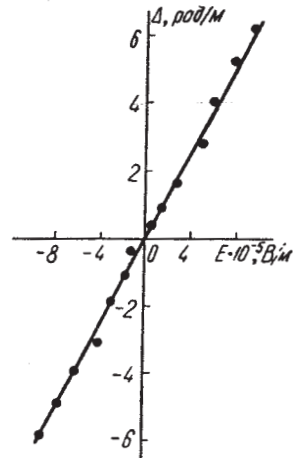


Рис. 4. Зміна питомої фази світла в кристалі  $\text{NaBrO}_3$  під дією електричного поля ( $d_{\langle 110 \rangle} = 5,48$  мм,  $d_{\langle 110 \rangle} = 7,65$  мм).

в кристалах симетрії 23 електрооптичне двопроменезаломлення не виникає і зміна повороту площини поляризації визначається співвідношенням

$$\Delta\rho_{eg} = \frac{\pi}{\lambda n} \gamma_{41} E_{\langle 111 \rangle}, \quad (2)$$

$\gamma_{41}$  — компонента аксіального тензора електрогірації.

В результаті експериментальних досліджень такого ефекту в кристалах  $\text{Bi}_{12}\text{SiO}_{20}$  показано (рис. 3), що при  $|E_{\langle 111 \rangle}| \leq 3 \cdot 10^5$  В/м  $\Delta\rho_{eg}$  пропорціональне полю і при переполіризації знак його змінюється. Цим спостережуваний ефект істотно відрізняється від зміни азимута поляризації світла внаслідок лінійного електрооптичного ефекту. Однак у силь-

ність для пояснення одержаних результатів формули (1). З рис. 2 випливає, що співвідношення (1) задовольняється при  $E \leq 3 \cdot 10^5$  В/м для  $\text{Bi}_{12}\text{SiO}_{20}$  і  $E \leq 5 \cdot 10^5$  В/м для  $\text{Bi}_{12}\text{GeO}_{20}$ . Останнє узгоджується з умовою  $|E_{\langle 110 \rangle} r_{41}| \ll |g_{33} n^{-5}|$ , за якою еліптичністю хвилі, що пройшла крізь кристал, можна знехтувати. Відмінність тенденцій до відхилення експери-

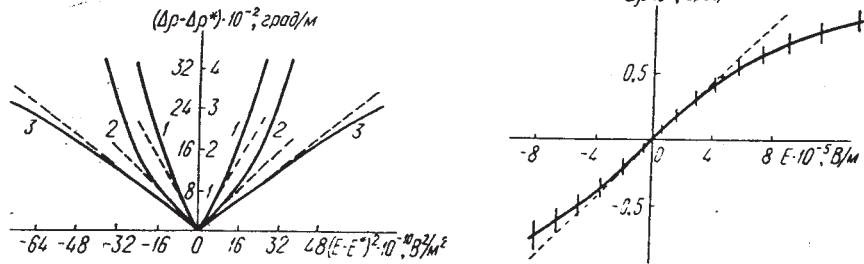


Рис. 2. Залежність питомого азимута еліпса поляризації світла від квадрата напруженості електричного поля.  $\Delta\rho^*$ ,  $E^*$  — координати вершин парабол, зображених на рис. 1. Штрихові лінії — екстраполяція лінійних ділянок. Позначення кривих ті самі, що й на рис. 1.

Рис. 3. Зміна питомого обертання площини поляризації світла в кристалі  $\text{Bi}_{12}\text{SiO}_{20}$  під дією електричного поля.

ментальних залежностей  $\Delta\rho(E^2)$  від лінійної для кристалів  $\text{Bi}_{12}\text{SiO}_{20}$  і  $\text{Bi}_{12}\text{GeO}_{20}$  визначається величиною початкової різниці фаз ( $\varphi_0 = 2\rho d$ ), знак відхилення чергується кратно  $\pi$ . На підставі одержаних даних за формулою (1) розраховано електрооптичні коефіцієнти обох кристалів. Для освітленого кристала  $\text{Bi}_{12}\text{SiO}_{20}$   $r_{41} = 1,60 \cdot 10^{-12}$  м/В, для неосвітленого  $r_{41} = 1,00 \times 10^{-12}$  м/В, а для  $\text{Bi}_{12}\text{GeO}_{20}$   $r_{41} = 2,72 \cdot 10^{-12}$  м/В. Таким чином, стають зрозумілими причини відмінності значень  $r_{41}$ , одержаних різними авторами [2, 5, 6, 7, 12].

Питання про наявність лінійної електрогірації в досліджуваних кристалах можна вирішити при поширенні світла і дії поля в напрямку  $\langle 111 \rangle$ . Саме при такій геометрії експерименту

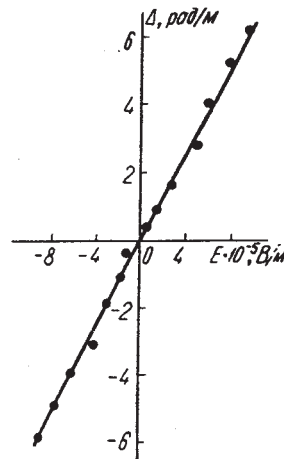


Рис. 4. Зміна питомої фази світла в кристалі  $\text{NaBrO}_3$  під дією електричного поля ( $d_{\langle 110 \rangle} = 5,48$  мм,  $d_{\langle 110 \rangle} = 7,65$  мм).

в кристалах симетрії 23 електрооптичне двопроменезаломлення не виникає і зміна повороту площини поляризації визначається співвідношенням

$$\Delta\rho_{e\theta} = \frac{\pi}{\lambda n} \gamma_{41} E_{\langle 111 \rangle}, \quad (2)$$

$\gamma_{41}$  — компонента аксіального тензора електрогірації.

В результаті експериментальних досліджень такого ефекту в кристалах  $\text{Bi}_{12}\text{SiO}_{20}$  показано (рис. 3), що при  $|E_{\langle 111 \rangle}| \leq 3 \cdot 10^5$  В/м  $\Delta\rho_{e\theta}$  пропорціональне полю і при переполаризації знак його змінюється. Цим спостережуваний ефект істотно відрізняється від зміни азимута поляризації світла внаслідок лінійного електрооптичного ефекту. Однак у силь-

них полях проявляється тенденція до встановлення сталої величини електрогірації, яка зумовлена, очевидно, сталістю поляризації. З одержаних даних за формулою (2) визначено коефіцієнт електрогірації  $\gamma_{41} = 9,52 \cdot 10^{-13}$  м/В. У кристалах  $\text{Bi}_{12}\text{GeO}_{20}$  і  $\text{NaBrO}_3$  електрогірації не виявлено, що свідчить про її електричне походження в кристалах  $\text{Bi}_{12}\text{SiO}_{20}$ .

Для оцінки впливу фотопровідності і величини гірації на електрооптичні властивості кристалів симетрії 23 нами при тій самій геометрії експерименту досліджено кристали  $\text{NaBrO}_3$  — лінійного діелектрика з незначною оптичною активністю. Співвідношення між оптичними параметрами цих кристалів в (1) такі, що  $\Delta\rho_{eo}$  змінюється в межах точності експерименту і тому для визначення коефіцієнта  $r_{41}$  краще використовувати компенсаційний метод Сенармона [13]. Одержана таким чином залежність питомої фази світла від напруженості електричного поля наведена на рис. 4. З цієї залежності, користуючись співвідношенням

$$\Delta = \sqrt{\left(\frac{2\pi}{\lambda} n^3 r_{41} E_{\langle 110 \rangle}\right)^2 + (2\rho)^2}, \quad (3)$$

визначаємо електрооптичний коефіцієнт  $r_{41} = 0,14 \cdot 10^{-12}$  м/В. Як видно, величина коефіцієнта  $r_{41}$  діелектричних кристалів  $\text{NaBrO}_3$  на порядок менша, ніж фотопровідних кристалів  $\text{Bi}_{12}\text{SiO}_{20}$  і  $\text{Bi}_{12}\text{GeO}_{20}$ .

#### ЛІТЕРАТУРА

1. Hou S. L., Oliver D. S. Pockels readout optical memory using  $\text{Bi}_{12}\text{SiO}_{20}$ .—Appl. Phys. Lett., 1971, 18, No 8, p. 325—328.
2. Feinleib J., Oliver D. S. Reusable optical image storage and processing device.—Appl. Opt., 1972, 11, No 12, p. 2752—2759.
3. Бережної А. А., Гуревич В. З., Морозів С. В., Попов Ю. В. Запись оптической информации в кристаллах силиката висмута.—Письма в ЖТФ, 1976, 2, № 5, с. 198—200.
4. Грехов Ю. Н., Котляр П. Е., Нежевенко Е. С. и др. Пространственно-временной модулятор света на монокристалле  $\text{Bi}_{12}\text{GeO}_{20}$ .—Письма в ЖЭТФ, 1976, 2, № 10, с. 457—462.
5. Lenzo P. V., Spencer E. G., Ballman A. A. Optical activity and electrooptic effect in bismuth germanium oxide ( $\text{Bi}_{12}\text{GeO}_{20}$ ).—Appl. Opt., 1966, 5, No 10, p. 1688—1689.
6. Lenzo P. V., Spencer E. D., Ballman A. A. Photoactivity in bismuth germanium oxide.—Phys. Rev. Lett., 1967, 19, No 11, p. 641—644.
7. Moore G. F., Lenzo P. V., Spencer E. G., Ballman A. A. Photoactivity and field induced changes in optical rotation in bismuth silicon oxide ( $\text{Bi}_{12}\text{SiO}_{20}$ ).—J. Appl. Phys., 1969, 40, No 5, p. 2361—2362.
8. Желудев И. С. Аксиальные тензоры 3-го ранга и описываемые ими физические явления.—Кристаллография, 1964, 9, № 4, с. 501—505.
9. Влох О. Г. Электрогирационный эффект в кристаллах кварца.—Письма в ЖЭТФ, 1971, 13, с. 118—121.
10. Влох О. Г., Кобылянский В. Б. Влияние параметров гиротропных кристаллов на характер поляризации света.—УФЖ, 1974, 19, № 7, с. 1129—1135.
11. Иванов Н. Р., Коляк Ч. Оптическая активность и электрооптический эффект в кристаллах лангбейнитов  $\text{Cd}_2(\text{NH}_4)_2(\text{SO}_4)_3$ .—Кристаллография, 1974, 19, № 6, с. 1216—1219.
12. Рез И. С., Мейснер Л. Б., Сафонов А. И. и др.—Оптические свойства монокристаллов типа силенина.—Кристаллография, 1970, 15, № 6, с. 1168—1170.
13. Меланхолин Н. М. Методы исследования оптических свойств кристаллов. М., «Наука», 1970. 155 с.

Львівський держуніверситет  
ім. Ів. Франка

Надійшла до редакції  
24.XII 1976 р.